

Эффект де Гааза–ван Альфена в диборидах ScB_2 , ZrB_2 и HfB_2

В.Б. Плужников

Международная лаборатория сильных магнитных полей и низких температур
ул. Гайовицка, 95, г. Вроцлав, 53-421, Польша

Физико-технический институт низких температур им. Б.И. Веркина НАН Украины
пр. Ленина, 47, г. Харьков, 61103, Украина
E-mail: pluzhnikov@ilt.kharkov.ua

И.В. Свечкарев

Физико-технический институт низких температур им. Б.И. Веркина НАН Украины
пр. Ленина, 47, г. Харьков, 61103, Украина

А.В. Духненко, А.В. Левченко, В.Б. Филиппов

Институт проблем материаловедения им. И.Н. Францевича НАН Украины
ул. Кржижановского, 3, г. Киев, 03680, Украина

А. Чопник

Институт низких температур и структурных исследований им. В. Чебятовского ПАН
n/я 1410, Вроцлав, 50-950, Польша

Статья поступила в редакцию 20 июля 2006 г.

Выращены монокристаллы гексагональной структуры ScB_2 , ZrB_2 и HfB_2 и исследованы свойства поверхностей Ферми этих соединений с помощью эффекта де Гааза–ван Альфена (дГВА). Измерены угловые зависимости частот дГВА осцилляций в плоскостях $(1\bar{1}0)$, $(1\bar{1}\bar{2}0)$, (0001) и значения их эффективных циклотронных масс. Частоты обнаруженных осцилляций находятся в интервале $(0,96–28,8) \cdot 10^2$ Тл, а измеренные циклотронные массы — в диапазоне $(0,09–0,87) m_0$. Для соединения ZrB_2 экспериментально получены значения константы электрон–фононного взаимодействия λ на различных сечениях его поверхности Ферми. Величина константы λ меняется от 0,05 до 0,16.

Виражено монокристали гексагональної структури ScB_2 , ZrB_2 і HfB_2 та досліджено властивості поверхонь Фермі цих сполук за допомогою ефекту де Гааза–ван Альфена (дГВА). Обмірювано кутові залежності частот дГВА осциляцій у площині $(1\bar{1}0)$, $(1\bar{1}\bar{2}0)$, (0001) і значення їх ефективних циклотронних мас. Частоти виявлених осциляцій знаходяться в інтервалі $(0,96–28,8) \cdot 10^2$ Тл, а обмірювані циклотронні маси — у діапазоні $(0,09–0,87) m_0$. Для сполуки ZrB_2 експериментально отримано значення константи електрон–фононної взаємодії λ на різних перетинах його поверхні Фермі. Величина константи λ змінюється від 0,05 до 0,16.

PACS: 81.05.Je Керамики и огнеупоры (включая бориды, карбиды, гидриды, нитриды, окислы и силициды);
71.18.+у Поверхности Ферми, расчеты и измерения, эффективные массы, g -фактор;
71.38.-k Поляроны и электрон–фононное взаимодействие.

Ключевые слова: эффект де Гааза–ван Альфена, дибориды, поверхность Ферми.

1. Введение

Дибориды переходных металлов вызывают интерес как в прикладном, так и в научном отношении вследствие своих технических характеристик — вы-

сокой температуры плавления (~ 3000 К), твердости, теплопроводности, химической стабильности, которые значительно превосходят свойства исходных элементов. Были выполнены многочисленные экспериментальные исследования их физических свойств на

поликристаллических образцах, но только достижения в технологии выращивания монокристаллов и дальнейшее развитие методов расчета электронных спектров позволили перейти к более фундаментальному уровню исследований природы этих соединений.

Кристаллическая структура диборидов переходных металлов относится к AlB_2 типу, гексагональная пространственная группа $P6/mmm$. Примитивная ячейка содержит молекулу MeB_2 , где Me — переходный металл в позиции $(0,0,0)$ и два атома В в позициях $\pm(1/3, 2/3, 1/2)$, как показано на рис. 1. Каждый тип атомов формирует гексагональную сеть в плоскостях, перпендикулярных оси c , сложенных поочередно. Однако эти дибориды не могут считаться строго слоистыми соединениями, поскольку существует еще достаточно сильное взаимодействие между слоями В через металлические слои. Оно влияет на анизотропию физических свойств этих соединений и вносит дополнительные неопределенности в используемые методы расчета [1].

Недавно опубликованы превосходные работы по расчету электронной структуры и фундаментальных свойств диборидов переходных металлов [1,2], которые инициировали проведение данных исследований. Нами выбраны соединения представителей $3d$ -, $4d$ - и $5d$ -переходных металлов с бором — ScB_2 , ZrB_2 и HfB_2 соответственно и измерены с помощью эффекта де Гааза-ван Альфена (ΔGVA) угловые зависимости сечений поверхности Ферми ($\Pi\Phi$) в плоскостях $(10\bar{1}0)$, $(11\bar{2}0)$, (0001) и величины циклотронных масс для направлений магнитного поля вдоль $[10\bar{1}0]$, $[11\bar{2}0]$, $[0001]$. В работах [3,4] на соединениях ZrB_2 и HfB_2 измерен эффект ΔGVA с целью установления общего вида их $\Pi\Phi$. Однако до настоящего времени не измерены их эффективные циклотронные массы. Для соединения ScB_2 обнаружение и изучение эффекта ΔGVA , проведенное в настоящей работе, является первым исследованием свойств его $\Pi\Phi$.

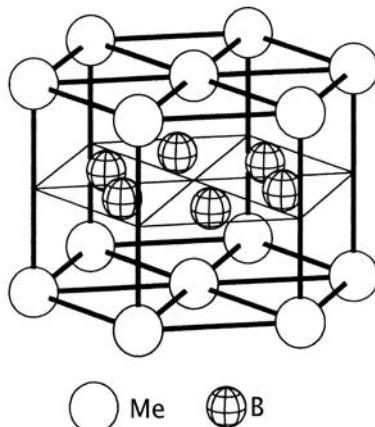


Рис. 1. Кристаллическая структура соединений MeB_2 ($\text{Me}=\text{Sc}, \text{Zr}, \text{Hf}$).

2. Эксперимент

Монокристаллы диборидов получены методом высокочастотной бестигельной зонной плавки в промышленной установке «Кристалл-111».

Исходные порошки диборидов получали восстановлением оксидов соответствующих металлов (чистотой 99,95 мас.%) аморфным бором (чистотой 99,9 мас.%). Монокристаллы диборидов циркония и гафния выращены с использованием спеченной порошковой затравки, а диборид скандия — с использованием плавленой затравки. Детальная информация о технологии получения и проверки качества монокристаллов приведена в работе [5].

Исходные монокристаллические слитки представляли собой стержни с переменным сечением по длине, которые обрабатывали алмазным диском для удаления «шкурки» — поверхностного напряженного слоя толщиной около 0,3 мм, а затем ориентировали рентгеновским методом в заданной плоскости и отрезали электроэрзационным способом. Образцы для измерений эффекта в конечном виде имели форму прямоугольных параллелепипедов размерами $1,5 \times 1,5 \times 4$ мм и были ориентированы своими гранями перпендикулярно высокосимметричным кристаллографическим направлениям.

Измерения эффекта ΔGVA проводили по стандартной модуляционной методике при температурах от 1,5 К и в магнитных полях до 9 Тл. Детектирование сигнала проводилось на второй гармонике при основной частоте модуляции магнитного поля 233 Гц. Детектируемый сигнал V_{osc} для магнитного поля H можно представить как

$$V_{\text{osc}} \approx A_p \sin\left(\frac{2\pi F}{H} + \varphi\right), \quad (1)$$

где F — частота эффекта ΔGVA , пропорциональная экстремальной (максимальной или минимальной) площади поперечного сечения $\Pi\Phi S_F$,

$$F = \frac{\hbar}{2\pi e} S_F, \quad (2)$$

и амплитуда осцилляций ΔGVA

$$A_p \approx J_2(x) \frac{\sqrt{H}}{p^{3/2}} \frac{\alpha p m_c^* T / H}{\text{sh}(\alpha p m_c^* T / H)}, \quad (3)$$

где $J_2(x)$ — функция Бесселя с аргументом $x = 2\pi p F h / H^2$, p — индекс гармоники осцилляций, h — модулирующее поле, $\alpha = 2\pi^2 k_B c / e\hbar$, m_c^* — эффективная циклотронная масса, выраженная в единицах массы свободного электрона m_0 .

На рис. 2 показаны типичные осцилляции дГВА и соответствующие им фрагменты спектра быстрого преобразования Фурье (БПФ) для соединения ZrB_2 при температуре 1,5 К, $\mathbf{H} \parallel [0001]$, в интервале магнитных полей 2–4 Тл (рис. 2,*a*) и 6–8 Тл (рис. 2,*b*).

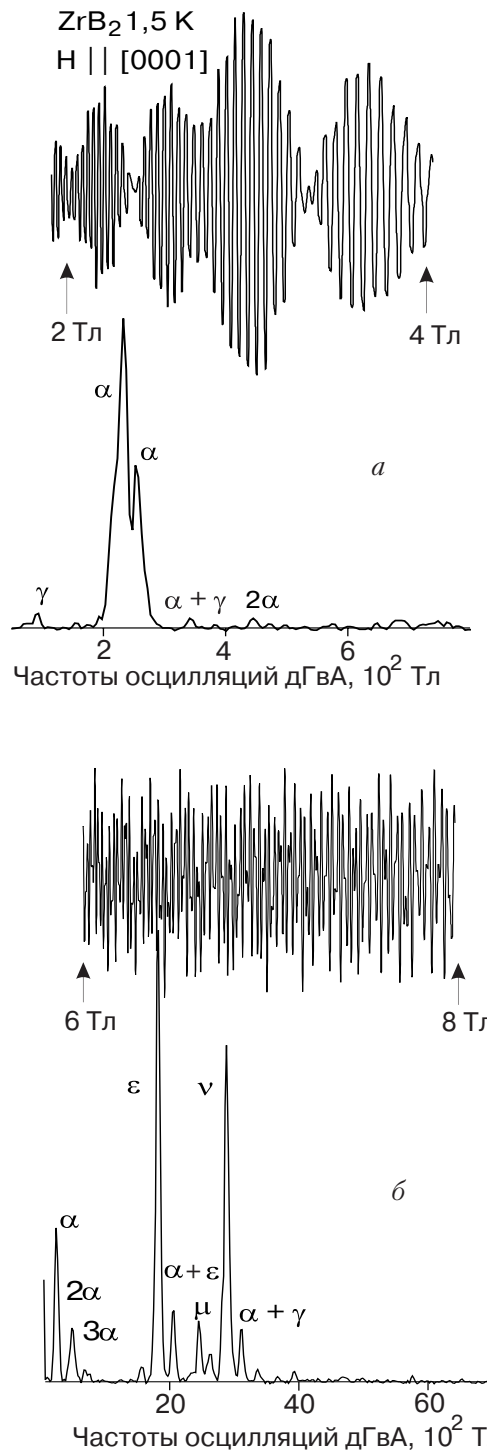


Рис. 2. Типичные осцилляции дГВА и их спектр быстрого преобразования Фурье для $\mathbf{H} \parallel [0001]$ в ZrB_2 при температуре 1,5 К в диапазоне магнитных полей 2–4 Тл (*a*) и 6–8 Тл (*b*).

3. Результаты и обсуждение

ScB_2

Результаты измерений угловых зависимостей частот осцилляций дГВА для высокосимметрических плоскостей приведены на рис. 3. Наблюдались сечения ПФ с частотами в диапазоне $(2,09–23,6) \cdot 10^2$ Тл. Вид зависимостей ψ , τ и ϕ свидетельствует о сильно анизотропной форме этих фрагментов ПФ, а зависимости σ и π близки к эллипсоидальной форме. Значения циклотронных эффективных масс определяли из температурных зависимостей амплитуд осцилляций дГВА, используя соотношения (3), а именно, из наклона графиков $\ln \{A[1 - \exp(-2\alpha m_c^* T/H)]/T\}$ от T , аппроксимированных прямой по методу наименьших квадратов, при постоянном поле H , как показано на рис. 4 и приведено в табл. 1. Надо отметить, что наблюдаемые осцилляции дГВА ψ , τ , σ , π в плоскостях $(10\bar{1}0)$ и $(11\bar{2}0)$, в диапазоне углов до 60° от $[0001]$ приблизительно сохраняют свои амплитуды, а следовательно, и легкие $m_c^* \approx 0,3m_0$. Это качественно согласуется с измерениями электронной теплоемкости $C_p = \gamma T$ [6], где $\gamma = 2,2 \text{ мДж}\cdot\text{моль}^{-1}\cdot\text{К}^{-2}$. Но вблизи $\mathbf{H} \parallel [10\bar{1}0]$ наблюдаются осцилляции дГВА ρ , σ , ϕ с $m_c^* \approx 0,5m_0 - 0,9m_0$. Такой рост циклотронной массы может быть обусловлен увеличением зонной массы вследствие проявления в этой части спектра d -электронов скандия, но не усилением электрон-фононного взаимодействия, принимая во внимание, что усредненная по спектру константа электрон-фононного взаимодействия $\lambda = 0,058$ [2].

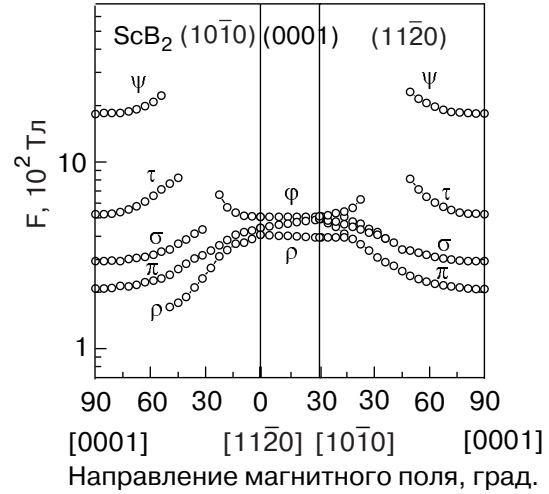


Рис. 3. Угловые зависимости частот осцилляций дГВА в соединении ScB_2 .

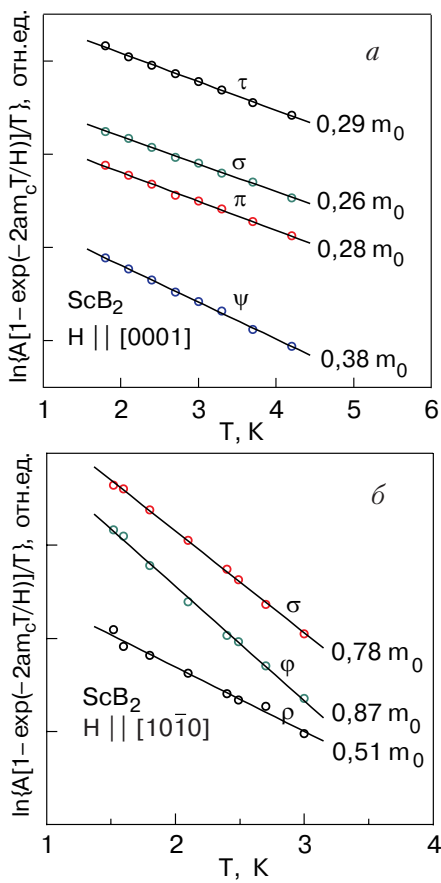


Рис. 4. Зависимости амплитуд осцилляций дГВА от температуры и полученные циклотронные массы в соединении ScB_2 : при $H \parallel [0001]$ для осцилляций типа π , σ , τ , ψ (а); при $H \parallel [10\bar{1}0]$ для осцилляций типа ϕ , ρ , σ (б).

Таблица 1. Частоты осцилляций дГВА, их символы (греческие буквы) и соответствующие циклотронные массы в соединении ScB_2

$F, 10^2 \text{ Тл}$	m_c^*, m_0
$H \parallel [0001]$	
ψ	18,03
τ	5,25
σ	2,94
π	2,09
$H \parallel [11\bar{2}0]$	
ϕ	5,07
π	4,44
ρ	4,06
$H \parallel [10\bar{1}0]$	
ϕ	5,1
π	4,95
ρ	3,93

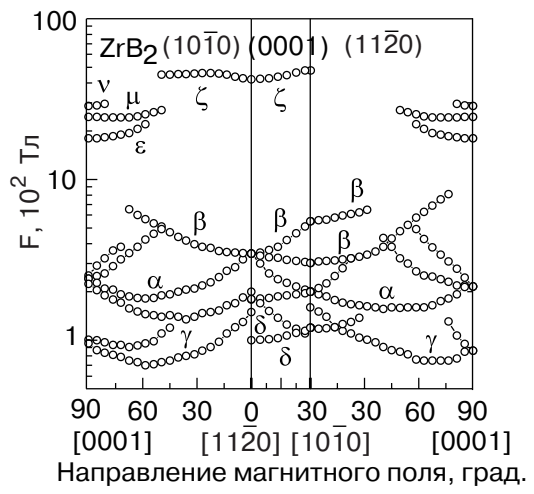


Рис. 5. Угловые зависимости частот осцилляций дГВА в соединении ZrB_2 .

ZrB_2

При первом исследовании ПФ ZrB_2 в 1966 году [7] измеряли магнитоопротивление и эффект Холла, которые показали, что это компенсированный полуметалл с эффективной концентрацией 0,04 электрона на ячейку, не имеющий открытых траекторий. В 1978 году [3] был обнаружен и исследован эффект дГВА и сделана попытка интерпретировать осцилляции дГВА на основе расчетов зонной структуры CrB_2 [8], используя приближение «жесткой зоны». Полученная тогда модель ПФ ZrB_2 нашла свое подтверждение в современных расчетах, выполненных методом FLAPW (full potential linearized augmented plane wave) [1].

Измеренные в данной работе угловые зависимости частот осцилляций дГВА показаны на рис. 5. (Здесь

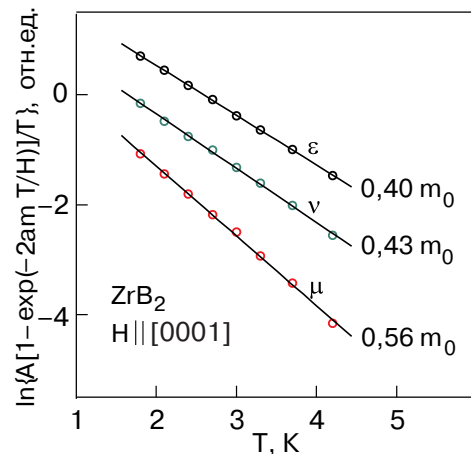


Рис. 6. Температурные зависимости амплитуд осцилляций дГВА и полученные циклотронные массы в соединении ZrB_2 при $H \parallel [0001]$ для осцилляций типа ϵ , μ , v .

сохранены обозначения ветвей спектра осцилляций, предложенные в [3].) Как видно из табл. 2, наблюдается хорошее согласие с [3] по всем ветвям спектра, за исключением ζ -ветви в плоскости $(11\bar{2}0)$, где нами осцилляции не наблюдались, возможно, по причине малой амплитуды. Впервые определены величины эффективных циклотронных масс. Их значения приведены в табл. 2 и на рис. 6. Для низкочастотных осцилляций α , β , δ и γ массы имеют величину менее $0,2m_0$, а высокочастотные осцилляции ν , μ , ε имеют большие массы. В третьей колонке табл. 2 показаны значения зонных масс m_b , взятых из [1], а в четвертой колонке λ , вычисленные из соотношения $m_c^* = m_b(1 + \lambda)$.

Таблица 2. Частоты осцилляций дГВА, их символы (греческие буквы) и соответствующие циклотронные массы в соединении ZrB_2 . В третьей колонке — их зонные массы, взятые из [1], в четвертой колонке — константа электрон–фононного взаимодействия, в пятой колонке — частоты осцилляций дГВА, приведенные в [3].

	$F, 10^2 \text{ Тл}$	$ m_c^*, m_0 $	m_b, m_0	λ	$F, 10^2 \text{ Тл}$
H [0001]					
ν	28,8	0,43	−0,41	0,05	28,4
μ	24,5	0,56	−0,6		24,6
ε	18,1	0,4	−0,38	0,05	18,1
α	2,53	0,13			
α	2,42	0,14			2,38
α	2,25	0,14			
γ	1,01	0,16			0,99
γ	0,96	0,15			
H [11̄20]					
ζ	42,07				42,3
β	3,47	0,13			3,43
α	1,8	0,11			1,92
δ	1,0	0,14			0,94
H [10̄10]					
ζ	47,8				48,6
β	5,51	0,19			5,42
β	3,03	0,12	0,103	0,16	3,0
α	2,01	0,13			2,2
γ	1,6	0,14			1,79
δ	1,2	0,17			1,02

HfB₂

Соединение HfB₂ является изоструктурным и изовалентным к ZrB₂ с низкой концентрацией носителей (0,04 электрона на ячейку) и небольшим значением $\gamma = 1,0 \text{ мДж}\cdot\text{моль}^{-1}\cdot\text{К}^{-2}$ [9]. Нами измерены угловые зависимости частот осцилляций дГВА и определены значения их эффективных циклотронных масс, которые приведены на рис. 7 и в табл. 3. Поскольку ПФ обоих соединений подобны между собою, обозначение ветвей спектра осцилляций дГВА оставлены прежними.

Таблица 3. Частоты осцилляций дГВА, их символы (греческие буквы) и соответствующие циклотронные массы в соединении HfB₂. В третьей колонке — частоты осцилляций дГВА, приведенные в [4].

	$F, 10^2 \text{ Тл}$	m_c^*, m_0	$F, 10^2 \text{ Тл}$
H [0001]			
ε	18,1	0,4	----
α	2,53	0,13	2,50
α	2,42	0,14	2,38
γ	1,01	0,16	1,25
H [11̄20]			
β	3,49	0,13	3,55
α	1,98	0,12	2,0
δ	1,11	0,14	1,15
H [10̄10]			
β	5,75	----	5,75
β	3,11	0,13	3,05
α	2,28	0,17	2,30
δ	1,26	0,18	1,30

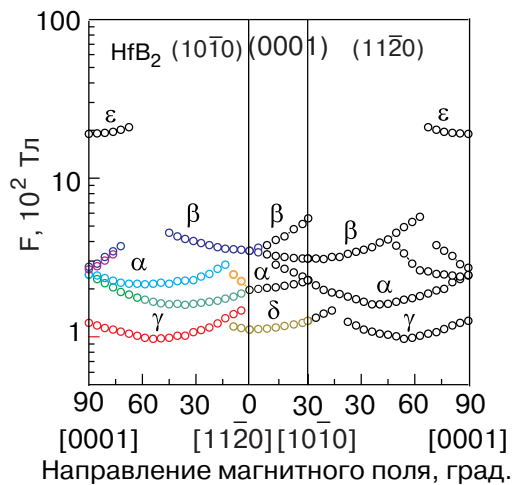


Рис. 7. Угловые зависимости частот осцилляций дГВА в соединении HfB₂.

Наблюдается хорошее согласие с результатами, полученными в [4] в области низкочастотных осцилляций $\alpha, \beta, \delta, \gamma$ с $F = (1,0-5,75) \cdot 10^2$ Тл, происходящих от малых фрагментов ПФ, но нам удалось детектировать новую высокочастотную ветвь осцилляции с $F = 18,1 \cdot 10^2$ Тл, характерную для основной части ПФ [3]. Как видно из таб. 3, все осцилляции имеют небольшие эффективные массы в согласии с небольшим значением γ и малой плотностью состояний на уровне Ферми, равной 3,69 [состояний Ридб. $^{-1}$ ячейка $^{-1}$] [2].

4. Заключение

Впервые проведено изучение эффекта дГвА в соединении ScB_2 и измерены циклотронные массы в соединениях ZrB_2 и HfB_2 . С использованием полученных из расчета [1] значений зонных масс m_b для ZrB_2 впервые экспериментально определены величины константы λ для различных сечений его ПФ. Полученные в настоящей работе результаты могут быть использованы для выяснения специфики электрон-фононного взаимодействия в квазислоистых соединениях MeB_2 , обладающих замечательными физико-химическими свойствами.

Авторы благодарят Ю.Б. Падерно за активную поддержку этих исследований, проф. Я. Кламут и В. Нижанковского за полезные замечания, высказанные при обсуждении результатов данной работы, и Н.Ю. Шицевалову за помощь в изготовлении монокристалла ScB_2 .

Работа выполнена при поддержке ИНТАС, проект 03-51-3036.

1. H. Rosner, J.M. An, W.E. Pickett, and S.-L. Drechsler, *cond-mat/0203030* (2002).
2. P. Vajeeston, P. Ravindran, C. Ravi, and R. Asokamani, *Phys. Rev. B* **63**, 045115 (2001).
3. T. Tanaka, Y. Ishizawa, E. Bannai, and S. Kawai, *Solid State Commun.* **26**, 879 (1978).
4. T. Tanaka and Y. Ishizawa, *AIP Conf. Proc.* **231**, 46 (1991).
5. G. Levchenko, A. Liashchenko, A. Evdokimova, V. Baumer, V. Filippov, Yu. Paderno, and N. Shitseva-

lova, *J. Solid State Chem.* **179**, 2949 (2006); R. Singh, M. Trenary, and Yu. Paderno, *Surf. Sci. Spectra* **7**, 310 (2000).

6. J. Castaing, R. Caudron, G. Toupancre, and P. Costa, *Solid State Commun.* **7**, 1453 (1969).
7. J. Piper, *J. Phys. Chem. Solids* **27**, 1907 (1966).
8. S.H. Liu, L. Kopp, W.B. England, and H.W. Myron, *Phys. Rev. B* **11**, 3463 (1975).
9. Y.S. Tyan, L.E. Toth, and Y.A. Chang, *J. Phys. Chem. Solids* **30**, 785 (1969).

The de Haas–van Alphen effect in diborides ScB_2 , ZrB_2 , and HfB_2

V.B. Pluzhnikov, I.V. Svechkarev, A.V. Dukhnenko, A.V. Levchenko, V.B. Filippov, and A. Czopnik

The hexagonal single crystals of ScB_2 , ZrB_2 and HfB_2 are grown and the Fermi surface properties of these compounds are studied by using of the de Haas–van Alphen effect (dHvA) technique. The angular dependences of dHvA-oscillation frequencies in planes $(1\bar{1}0)$, $(11\bar{2}0)$, (0001) and the effective cyclotron masses are measured. The observed dHvA frequencies range within $(0.96-28.8) \cdot 10^2$ T and the cyclotron masses range from $0.09 m_0$ to $0.87 m_0$. For ZrB_2 the experimental values of electron–phonon interaction constant λ for the different sections of its Fermi surface are obtained. The λ value varies from 0.05 up to 0.16.

PACS: 81.05.Je Ceramics and refractories (including borides, carbides, hydrides, nitrides, oxides, and silicides;

71.18.+y Fermi surface: calculations and measurements; effective mass, g -factor;

71.38.-k Polarons and electron-phonon interactions.

Keywords: de Haas–van Alphen effect, diborides, Fermi surface.